



Estrutura do tema Avaliação de Desempenho (IA-32)

1. A avaliação de sistemas de computação
2. Técnicas de otimização de código (IM)
3. Técnicas de otimização de *hardware*
4. Técnicas de otimização de código (DM)
5. Outras técnicas de otimização
6. Medição de tempos

Análise de técnicas de otimização (1)



Análise de técnicas de otimização (s/w)

- técnicas independentes da máquina ... *já visto...*
- **técnicas de otimização de código (dep. máquina)**
 - análise sucinta de um CPU atual, P6 (*já visto...*)
 - **loop unroll sem e com paralelismo**
 - **inline functions**
 - **identificação de potenciais limitadores de desempenho**
 - dependentes da hierarquia da memória
- **outras técnicas de otimização**
 - **na compilação:** otimizações efectuadas pelo GCC
 - **na identificação dos "gargalos" de desempenho**
 - *code profiling* e uso dum *profiler* para apoio à otimização
 - **lei de Amdahl**

Técnicas de otimização dependentes da máquina: loop unroll (1)



```
void combine5(vec_ptr v, int *dest)
{
    int length = vec_length(v);
    int limit = length-2;
    int *data = get_vec_start(v);
    int sum = 0;
    int i;
    /* junta 3 elem's no mesmo ciclo */
    for (i = 0; i < limit; i+=3) {
        sum += data[i] + data[i+1]
              + data[i+2];
    }
    /* completa os restantes elem's */
    for (; i < length; i++) {
        sum += data[i];
    }
    *dest = sum;
}

```

Otimização 4:

- juntar várias (3) iterações num simples ciclo
- amortiza *overhead* dos ciclos em várias iterações
- termina extras no fim
- **CPE: 1.33**

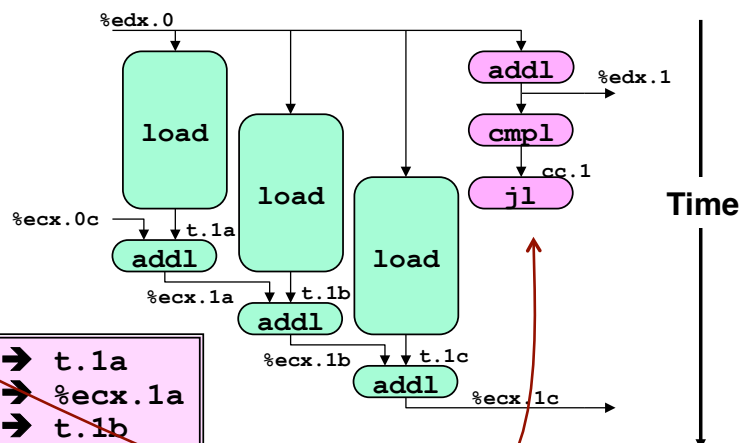
Técnicas de otimização dependentes da máquina: loop unroll (2)



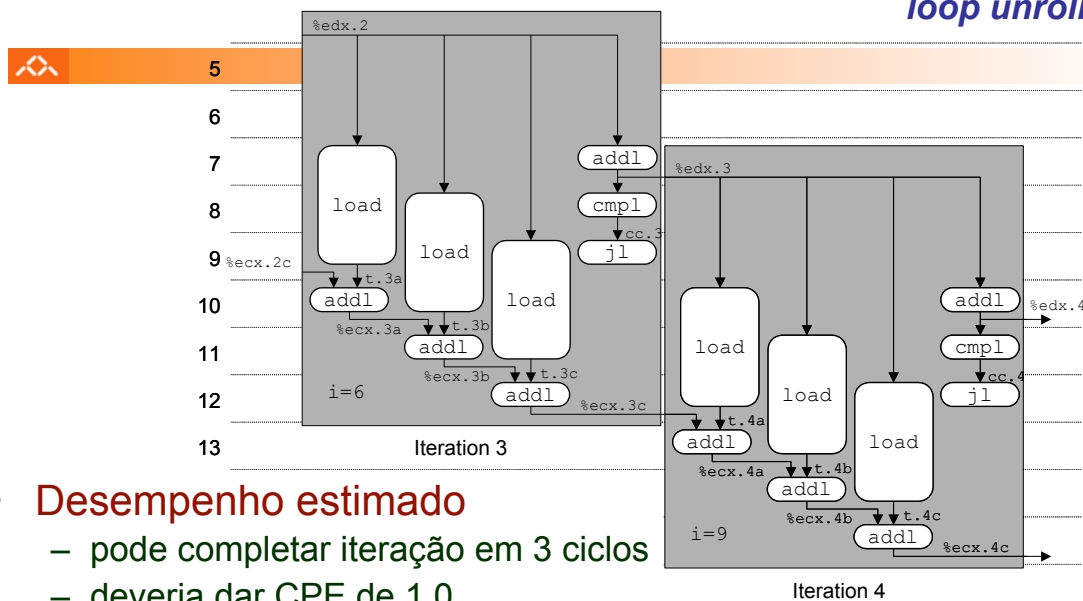
- loads podem encadear, uma vez que não há dependências
- apenas um conjunto de instruções de controlo de ciclo

```
load (%eax,%edx.0,4)  → t.1a
iaddl t.1a, %ecx.0c  → %ecx.1a
load 4(%eax,%edx.0,4) → t.1b
iaddl t.1b, %ecx.1a  → %ecx.1b
load 8(%eax,%edx.0,4) → t.1c
iaddl t.1c, %ecx.1b  → %ecx.1c
iaddl $3,%edx.0      → %edx.1
cml %esi, %edx.1     → cc.1
jl -taken cc.1

```



Técnicas de otimização dependentes da máquina: loop unroll (3)



- **Desempenho estimado**
 - pode completar iteração em 3 ciclos
 - deveria dar CPE de 1.0
- **Desempenho medido**
 - CPE: 1.33
 - 1 iteração em cada 4 ciclos

AJProença, Sistemas de Computação, UMinho, 2017/18

5

Técnicas de otimização dependentes da máquina: loop unroll (4)

Valor do **CPE** para várias situações de *loop unroll*:

Grau de <i>Unroll</i>		1	2	3	4	8	16
Inteiro	Soma	2.00	1.50	1.33	1.50	1.25	1.06
Inteiro	Produto	4.00					
<i>fp</i>	Soma	3.00					
<i>fp</i>	Produto	5.00					

- apenas melhora nas somas de inteiros
 - restantes casos há restrições com a latência da unidade
- efeito não é linear com o grau de *unroll*
 - há efeitos subtis que determinam a atribuição exacta das operações

AJProença, Sistemas de Computação, UMinho, 2017/18

6

Técnicas de otimização dependentes da máquina: loop unroll com paralelismo (1)



```
void combine6(vec_ptr v, int *dest)
{
    int length = vec_length(v);
    int limit = length-1;
    int *data = get_vec_start(v);
    int x0 = 1;
    int x1 = 1;
    int i;
    /* junta 2 elem's de cada vez */
    for (i = 0; i < limit; i+=2) {
        x0 *= data[i];
        x1 *= data[i+1];
    }
    /* completa os restantes elem's */
    for (; i < length; i++) {
        x0 *= data[i];
    }
    *dest = x0 * x1;
}
```

... versus paralela!

Otimização 5:

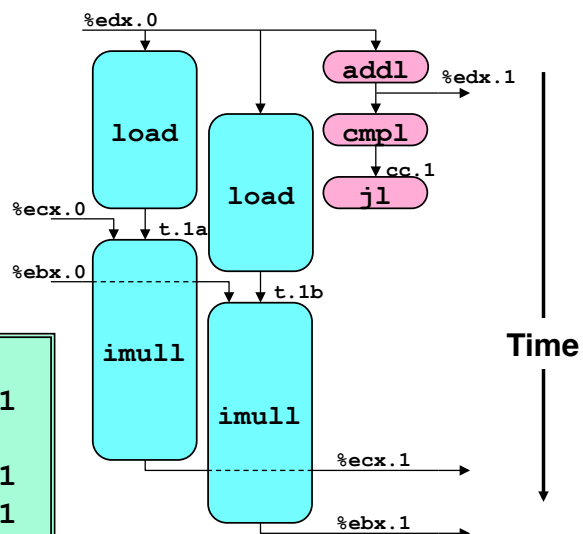
- acumular em 2 produtos diferentes
 - pode ser feito em paralelo, se OP fôr associativa!
- juntar no fim
- Desempenho
 - CPE: 2.0
 - melhoria de 2x

Técnicas de otimização dependentes da máquina: loop unroll com paralelismo (2)

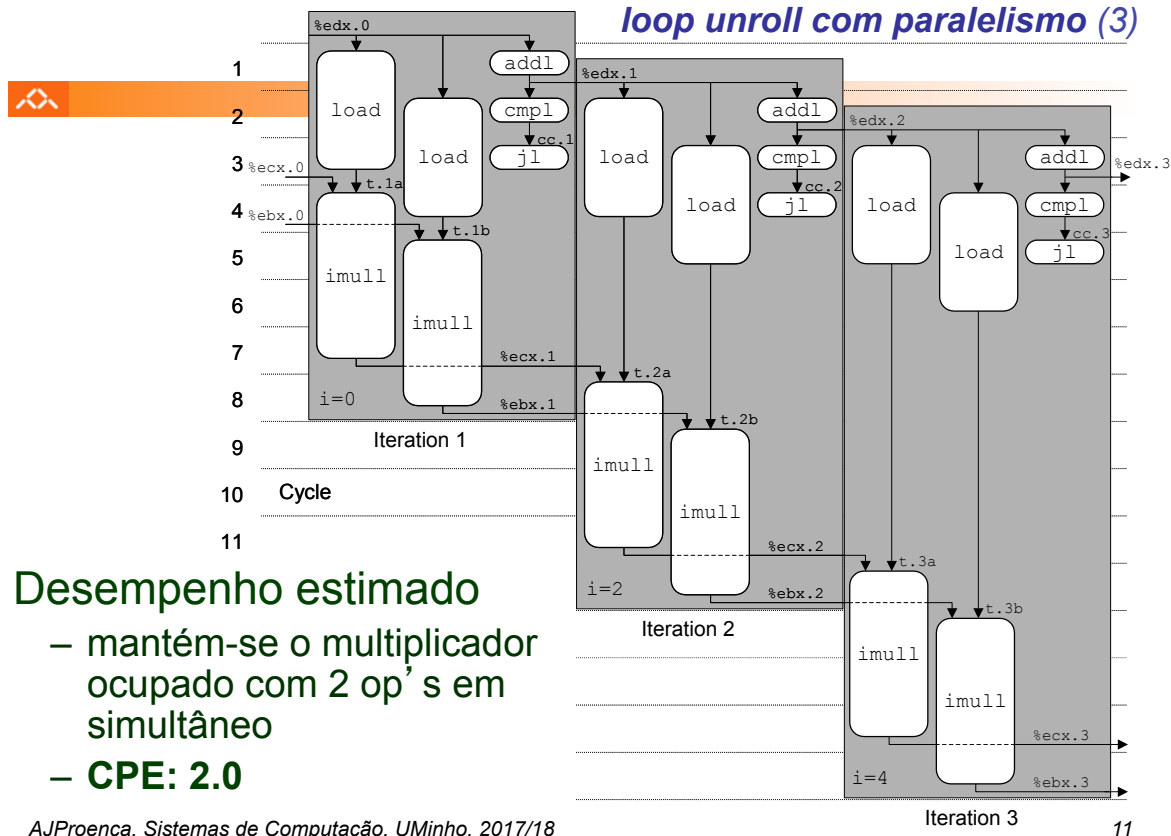


- os dois produtos no interior do ciclo não dependem um do outro...
- e é possível encadeá-los
- *iteration splitting*, na literatura

```
load (%eax,%edx.0,4)    → t.1a
imull t.1a, %ecx.0      → %ecx.1
load 4(%eax,%edx.0,4)  → t.1b
imull t.1b, %ebx.0      → %ebx.1
iaddl $2,%edx.0        → %edx.1
cml %esi, %edx.1       → cc.1
jl-taken cc.1
```



Técnicas de otimização dependentes da máquina: loop unroll com paralelismo (3)



Técnicas de otimização de código: análise comparativa de *combine*

Método	Inteiro		Real (precisão simples)	
	+	*	+	*
<i>Abstract -g</i>	42.06	41.86	41.44	160.00
<i>Abstract -O2</i>	31.25	33.25	31.25	143.00
<i>Move vec_length</i>	20.66	21.25	21.15	135.00
<i>Acesso aos dados</i>	6.00	9.00	8.00	117.00
<i>Acum. em temp</i>	2.00	4.00	3.00	5.00
<i>Unroll 4x</i>	1.50	4.00	3.00	5.00
<i>Unroll 16x</i>	1.06	4.00	3.00	5.00
<i>Unroll 2x, paral. 2x</i>	1.50	2.00	2.00	2.50
<i>Unroll 4x, paral. 4x</i>	1.50	2.00	1.50	2.50
<i>Unroll 8x, paral. 4x</i>	1.25	1.25	1.50	2.00
Otimização Teórica	1.00	1.00	1.00	2.00
<i>Rácio Pior : Melhor</i>	39.7	33.5	27.6	80.0



- Precisa de muitos registos!
 - para guardar somas/produtos
 - apenas 6 registos (p/ inteiros) disponíveis no IA-32
 - tb usados como apontadores, controlo de ciclos, ...
 - 8 registos de fp
 - quando os registos são insuficientes, temp's vão para a *stack*
 - elimina ganhos de desempenho
(ver *assembly* em produto inteiro com *unroll 8x* e paralelismo 8x)
 - re-nomeação de registos não chega
 - não é possível referenciar mais operandos que aqueles que o *instruction set* permite
 - ... principal inconveniente do *instruction set* do IA-32
- Operações a paralelizar têm de ser associativas
 - a soma e multipl de fp num computador não é associativa!
 - $(3.14+1e20)-1e20$ nem sempre é igual a $3.14+(1e20-1e20)$...

Limitações do paralelismo: a insuficiência de registos



- **combine**
 - produto de inteiros
 - *unroll 8x* e paralelismo 8x
 - 7 variáveis locais partilham 1 registo (`%edi`)
 - observar os acessos à *stack*
 - melhoria desempenho é comprometida...
 - *register spilling* na literatura

```
.L165:
    imull (%eax),%ecx
    movl -4(%ebp),%edi
    imull 4(%eax),%edi
    movl %edi,-4(%ebp)
    movl -8(%ebp),%edi
    imull 8(%eax),%edi
    movl %edi,-8(%ebp)
    movl -12(%ebp),%edi
    imull 12(%eax),%edi
    movl %edi,-12(%ebp)
    movl -16(%ebp),%edi
    imull 16(%eax),%edi
    movl %edi,-16(%ebp)
    ...
    addl $32,%eax
    addl $8,%edx
    cmpl -32(%ebp),%edx
    jl .L165
```

Análise de técnicas de otimização (s/w)

- técnicas de otimização de código (indep. máquina)
 - já visto...
- técnicas de otimização de código (dep. máquina)
 - dependentes do processador (já visto...)
- **outras técnicas de otimização**
 - na compilação: otimizações efectuadas pelo GCC
 - na identificação dos "gargalos" de desempenho
 - code profiling
 - uso dum profiler para apoio à otimização
 - lei de Amdahl
 - dependentes da hierarquia da memória
 - a localidade espacial e temporal dum programa
 - influência da cache no desempenho

Code profiling: análise visual da melhoria de código duma função

Antes,
96% na função
ProporRegionGrow

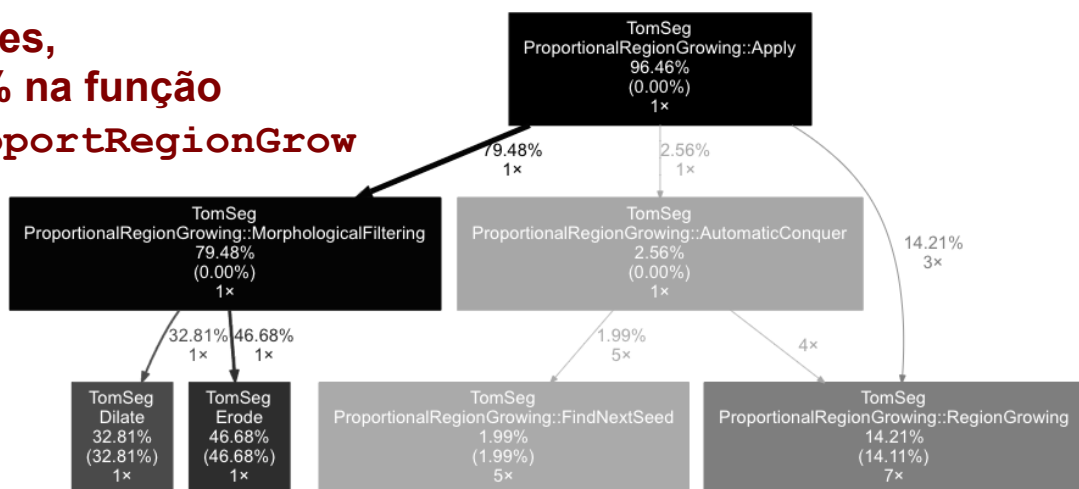


Figure 5.7.: Call-graph of the first version of *Propor. Region Growing* (DS3)

Depois,
apenas 36% na
mesma função!

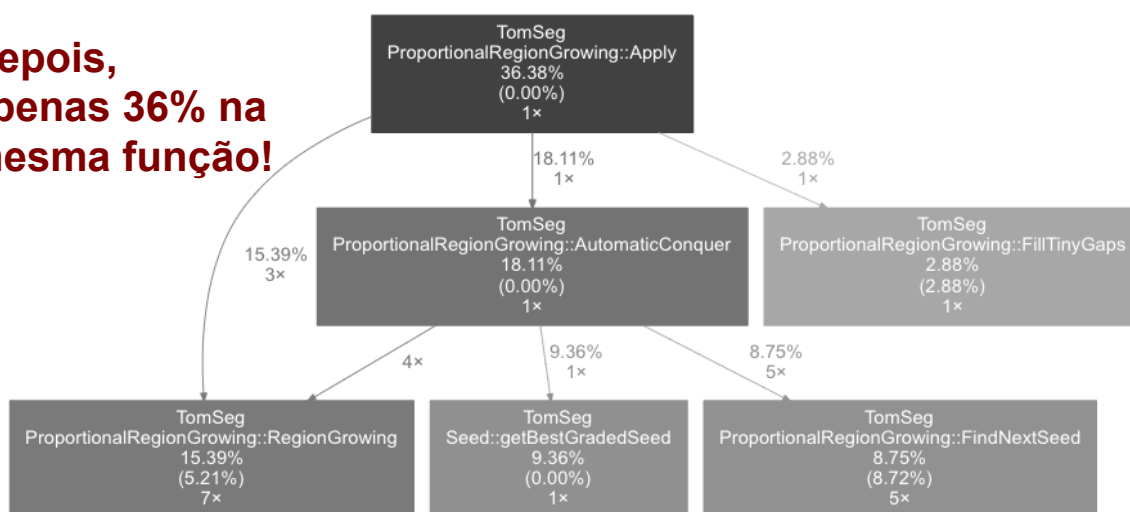


Figure 5.9.: Call-graph from the last version of *Propor. Region Growing* (DS3)

Lei de Amdahl

O ganho no desempenho – speedup –

obtido com a melhoria do tempo de execução de uma parte do sistema, está limitado pela fração de tempo que essa parte do sistema pode ser usada.

$$Speedup_{overall} = \frac{\text{Tempo_exec}_{antigo}}{\text{Tempo_exec}_{novo}} = \frac{1}{\sum (f_i / s_i)}$$

f_i - fracções com melhoria s_i
 s_i - speedup de cada fracção

Ex.1: Se **10%** de um prog executa **90x** mais rápido, então

Overall speedup = 1.11

Ex.2: Se **90%** de um prog executa **90x** mais rápido, então

Overall speedup = 9.09

Paralelismo:
se $N_{proc} \equiv speedup$, trocar s_i por N_{proc}

